



中国科学技术大学
University of Science and Technology of China

电 磁 学 (Electromagnetism)

第五章 介质中的静磁场2

§ 5.3 介质的磁化规律



一、磁介质性质介绍

1. 各向同性和各向异性

- 各向同性磁介质：

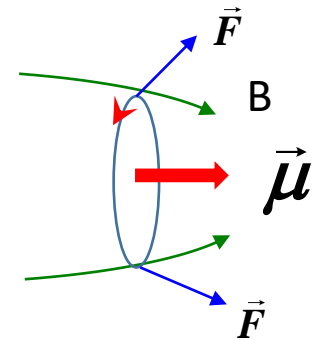
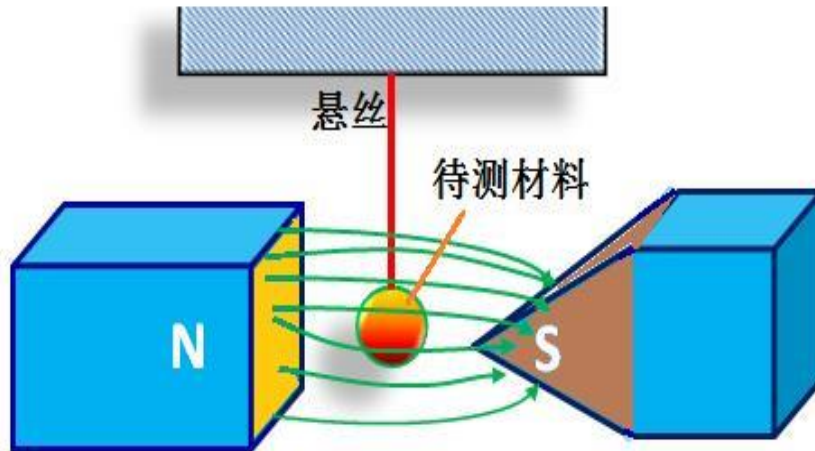
$$\vec{M} // \vec{H}$$

$$\vec{M} = \chi_m \vec{H} \quad (\vec{M} \text{ 单位体积的磁矩, } \chi_m \text{ -- 磁化率})$$

- 各向异性磁介质：**M和H的方向不一样**

各向异性磁介质的磁化率为**张量**。

2. 顺磁和抗磁



小线圈非均匀磁场中的
梯度力：

$$\vec{F}_{\text{梯}} = (\vec{\mu} \cdot \nabla) \vec{B}$$

- **顺磁材料：** 介质被S极吸引
- **抗磁材料：** 介质被S极排斥

顺磁： \vec{M} 平行于 \vec{B}

逆磁： \vec{M} 反平行于 \vec{B}



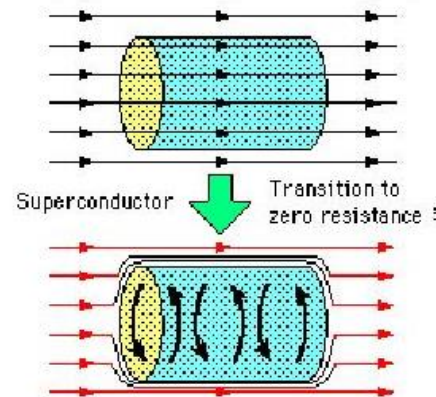
在自然界中，**大多数物质都具有抗磁性**，特别是有机材料和生物材料中，绝大部分为抗磁性的。



热解碳因抗磁特性“悬浮”

超导材料完全抗磁性

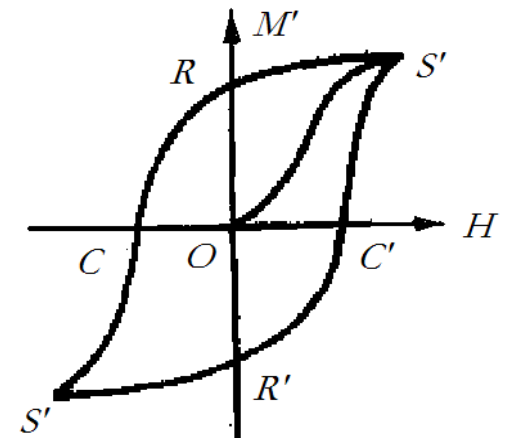
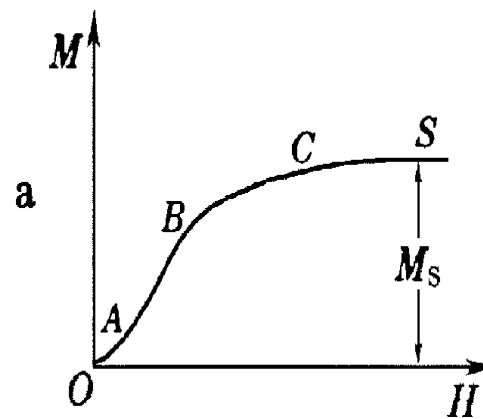
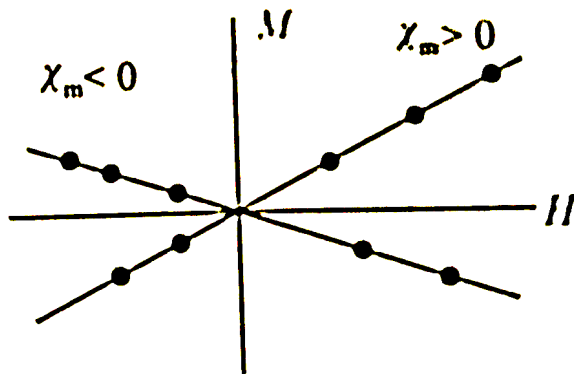
- 1911年Kamerling Onnes 发现超导电性
- 1933年迈斯纳和奥森费尔德发现，超导体放入磁场中时，超导体内的磁场完全为0，超导体外磁感应曲线弯曲而绕过超导体，即**完全抗磁性**。
- 在外磁场中超导体的表面产生感应的超导电流，它的附加磁感应强度将体内的磁感应强度完全抵消，但由于无电阻，表面超导电流将一直持续下去。一般超导表面磁场透入深度为 $10^{-4} \sim 10^{-6}$ cm。



(3) 线性与非线性

$$\vec{M} = \chi_m \vec{H}$$

- 线性介质： χ_m 是和磁场无关的常数
- 非线性介质： χ_m 和磁场相关，是磁场的函数





二、磁化规律

- **磁化规律**是磁场和物质相互作用的宏观描述，数学表示为 M 和 B 的函数关系
- 磁化规律决定于介质自身的电磁性质，一般通过实验测定
- 由于历史的原因，人们常用 M 和 H 之间的关系来表达介质的磁化规律

$$\vec{M} = \vec{M}(\vec{H})$$

磁化规律

$$\vec{H} = \frac{\vec{B}}{\mu_0} - \vec{M} \rightarrow \vec{B} = \vec{B}(\vec{H})$$

磁介质性能方程

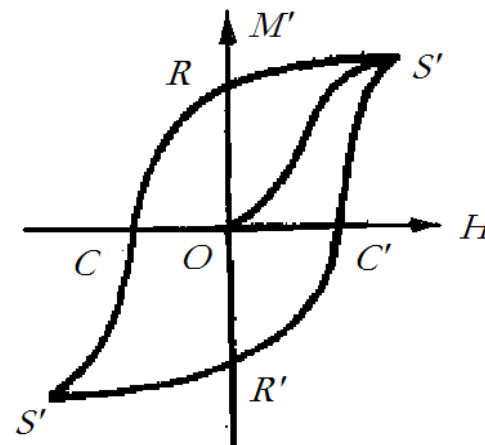
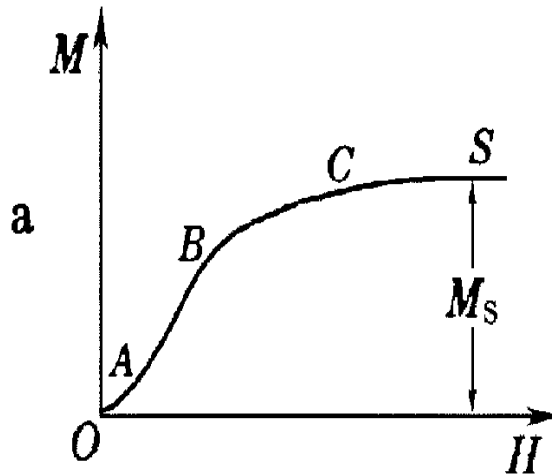
线性均匀各向同性介质：

$$\vec{B} = \mu \vec{H}$$



三、磁化曲线

磁化强度与磁场强度的关系曲线，通常通过实验测量获得。





四、磁介质分类（只讨论均匀线性各项同性介质）

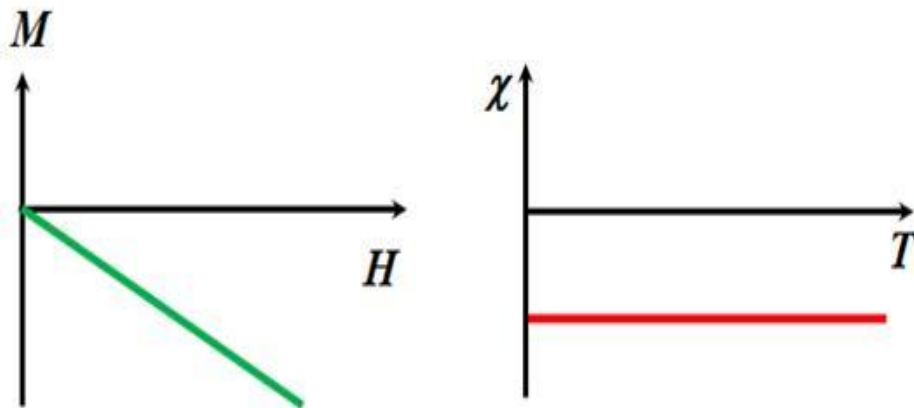
1. 弱磁质（磁化率绝对值远小于1）

(1) 抗磁质: $\chi_m < 0, \mu < \mu_0$ 。

(磁化率的绝对值约在 $10^{-5} \sim 10^{-7}$ 之间)

■ 抗磁质：铍、铜、银...

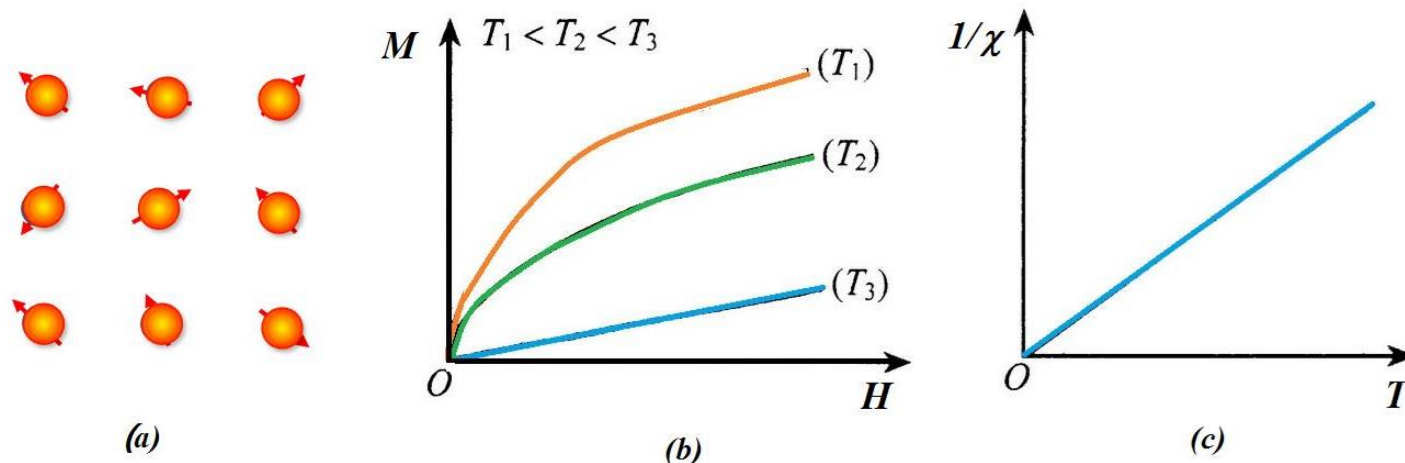
■ 抗磁质的磁化率为负，通常不随温度变化而改变。



(2) 顺磁质: $\chi_m > 0$, $\mu > \mu_0$ (χ_m : $10^{-4} \sim 10^{-5}$)

■ 顺磁性: 锰, 铬, 锂, 钠等

■ 顺磁质的磁化率一般随温度 T 降低而增大.





一般顺磁质的磁化率和温度的关系

- 居里定律：

$$\chi_m = \frac{C}{T}$$

- 居里-外斯定律：

$$\chi_m = \frac{C}{T - T_c}$$

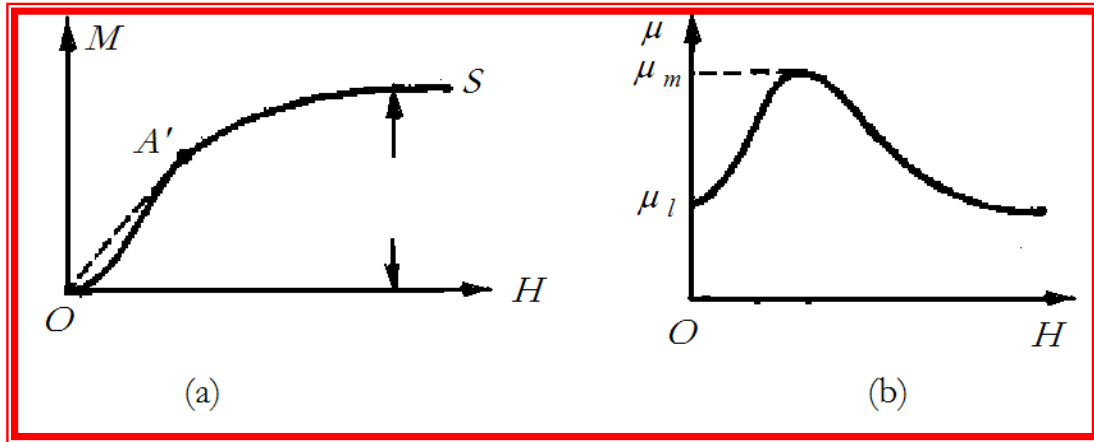
C （居里常数）、 T_c （顺磁居里温度）和材料性质有关的常数，可以通过实验测定。

2. 铁磁质

■ 铁磁质：铁、钴、镍(过渡族)，

钐、铕、钬（稀土族）...

■ M 的值相当大， M 和 H 间的函数关系复杂，与磁化的历史有关。

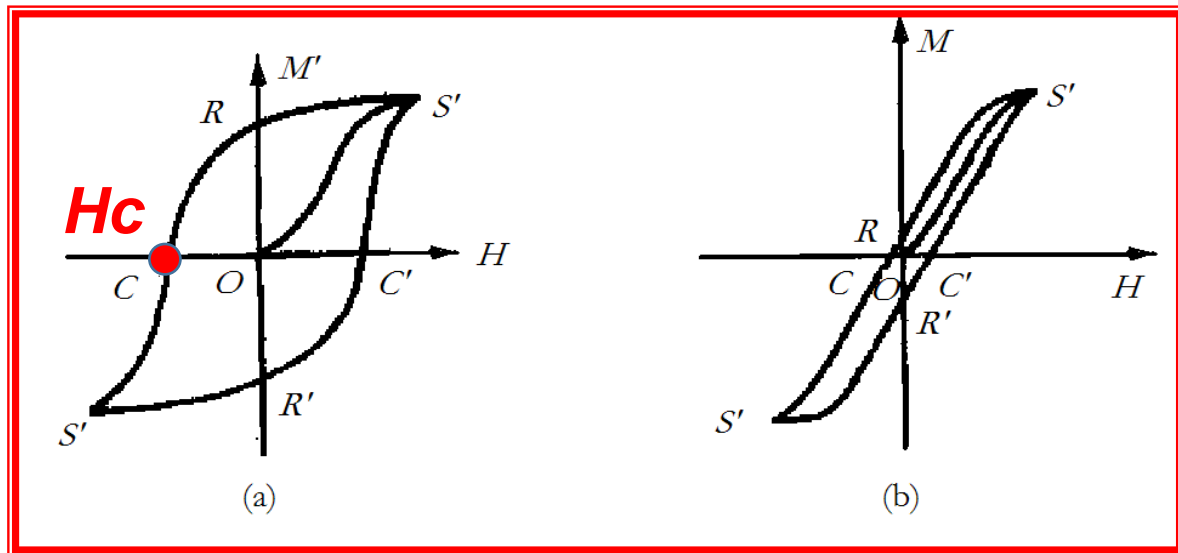


(a) 起始磁化曲线

(b) μ - H 曲线

磁滞回线

- 闭合磁化曲线 $SRCS'R'C'S$ 称为**磁滞回线**。
- 按照矫顽力 H_c 的大小，可把铁磁质划分为**硬磁材料**和**软磁材料**两大类。前者矫顽力大，磁滞回线较宽；后者矫顽力小，磁滞回线较窄。





- **硬磁材料**在外加磁场为零时仍保留较强的剩余磁化度，且不易退磁，适合于**制作永久磁铁**；而**软磁材料**则**作为高导磁材料**广泛应用于各种电子和电工设备之中。
 - 人造铁氧体，例如钡铁氧体、锶铁氧体等属于**硬磁材料**，锰锌铁氧体（Mn、Zn、 Fe_2O_4 按一定比例制成的晶体）、镍锌铁氧体等属于**软磁材料**。
 - **典型软磁材料**，如纯铁、硅钢、坡莫合金（Ni/Fe合金）等，其最大的相对磁导率 μ / μ_0 和磁化率 χ_m 位于之 $10^3 \sim 10^5$ 间，甚至更大；
- 典型的硬磁材料**的剩余磁感应强度 B_R ，如碳钢为1 T，钕铁硼合金（Nd15B8Fe77）为1.23T，它们都具有强磁性。



■将铁磁质加热到**高于**其居里温度 T_c （或称居里点），其铁磁性消失，**转变为顺磁性**，磁化率与温度关系满足**居里—外斯定律**：

$$\chi_m = \frac{c}{T - T_c},$$

式中 **c** 为居里常数， T_c 为居里温度，二者通过实验确定。

铁、钴、镍的居里温度分别为1040 K、1395 K、628 K。

一、边值关系

- 问题

在实际问题中会碰到**电流面模型**、**磁介质界面**的情况，在这种界面两侧磁场将会出现间断

- 边值关系

从静磁场的高斯定理和安培环路定理出发，磁场在磁介质界面上应满足的“交接”关系



1. 介质中的磁场方程

$$\begin{cases} \oint \vec{H} \cdot d\vec{l} = \sum I_0 \\ \oiint_S \vec{B} \cdot d\vec{S} = 0 \end{cases}$$

积分形式
边界突变时适用

$$\begin{cases} \nabla \times \vec{H} = \vec{j}_0 \\ \nabla \cdot \vec{B} = 0 \end{cases}$$

微分形式
边界突变时不适用

介质性能方程:

$$\vec{H} = \vec{B} / \mu_0 - \vec{M}$$

均匀线性各向同性介质:

$$\vec{B} = \mu_r \mu_0 \vec{H}$$

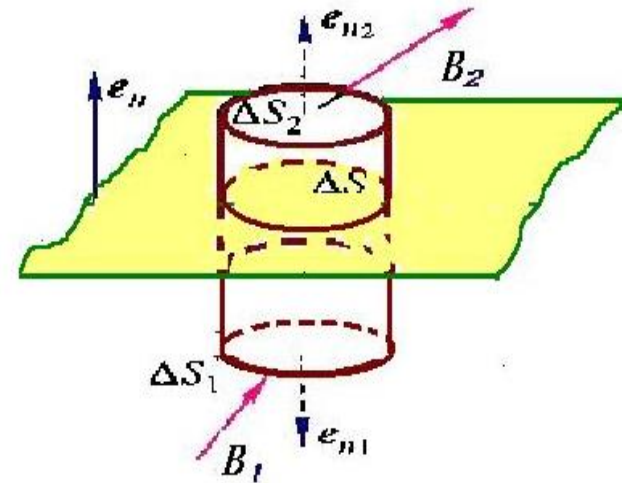
2. B的法向关系

作高斯面 $\oiint_S \vec{B} \cdot d\vec{S} = (\iint_{S_1} + \iint_{S_2} + \iint_{S_3}) \vec{B} \cdot d\vec{S} = 0$

即:

$$-\vec{B}_1 \cdot \vec{n} \Delta S + \vec{B}_2 \cdot \vec{n} \Delta S = 0$$

$$(\vec{B}_2 - \vec{B}_1) \cdot \vec{n} = 0$$



or

$$B_{2n} = B_{1n}$$

界面两侧的B的法向连续

3. H的切向关系

作一矩形边界

$$\oint_L \vec{H} \cdot d\vec{l} = \left(\int_a^b + \int_b^c + \int_c^d + \int_d^a \right) \vec{H} \cdot d\vec{l}$$
$$= -H_{2t} \Delta l + H_{1t} \Delta l = \sum I_0$$

$$I_0 = i_0 \Delta l$$

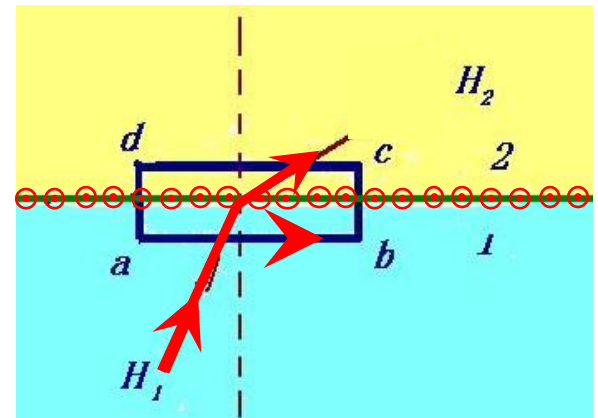
介质界面上

$$H_{1t} - H_{2t} = i_0$$

$$\vec{i}_0 = \vec{n} \times (\vec{H}_2 - \vec{H}_1),$$

若 $i_0 = 0$

$$\vec{n} \times (\vec{H}_2 - \vec{H}_1) = 0$$



没有传导电流的界面两侧H的切向连续



界面电流关系

传导电流:

$$\vec{i}_0 = \vec{n} \times (\vec{H}_2 - \vec{H}_1)$$

$$i_0 = H_{1t} - H_{2t}$$

磁化电流:

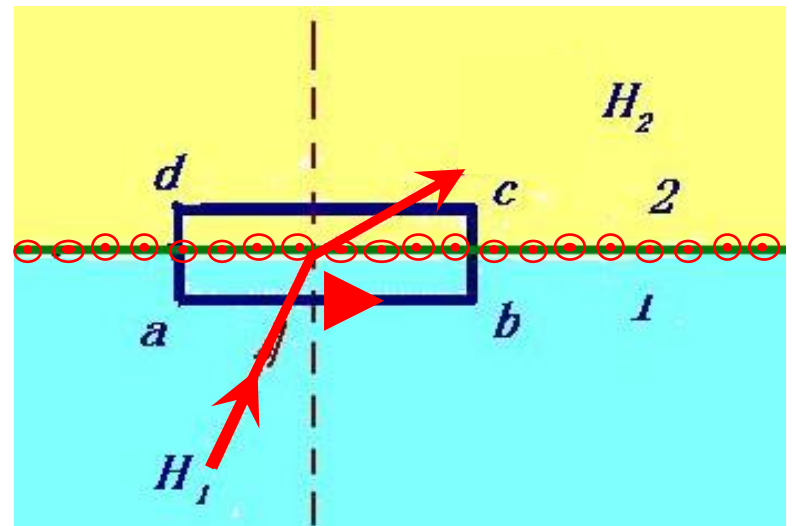
$$\vec{i}' = \vec{n} \times (\vec{M}_2 - \vec{M}_1).$$

$$i' = M_{1t} - M_{2t}$$

总电流:

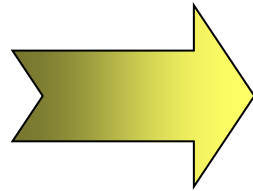
$$\mu_0 \vec{i} = \vec{n} \times (\vec{B}_2 - \vec{B}_1).$$

$$i = \frac{1}{\mu_0} (B_{1t} - B_{2t})$$



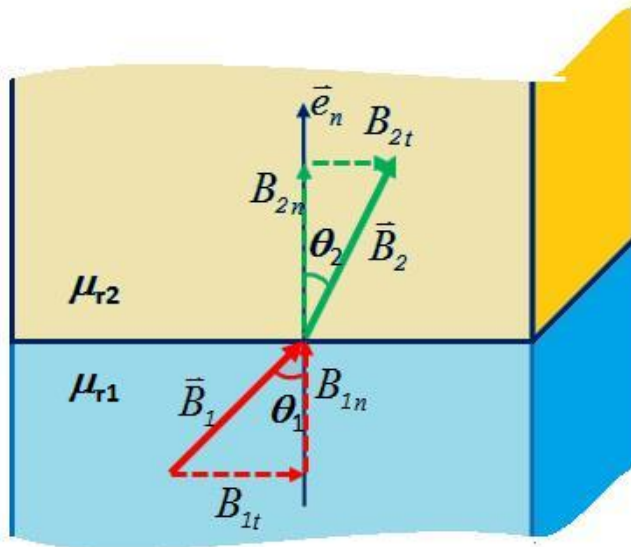
4. 界面磁感应线“折射定理”

$$\begin{cases} B_{2n} = B_{1n} \\ H_{2\tau} = H_{1\tau} \\ \vec{B} = \mu_0 \mu_r \vec{H} \end{cases}$$



$$\begin{cases} B_{2t} = \frac{\mu_2}{\mu_1} B_{1t} \\ H_{2n} = \frac{\mu_1}{\mu_2} H_{1n} \end{cases}$$

B_t 和 H_n 不连续

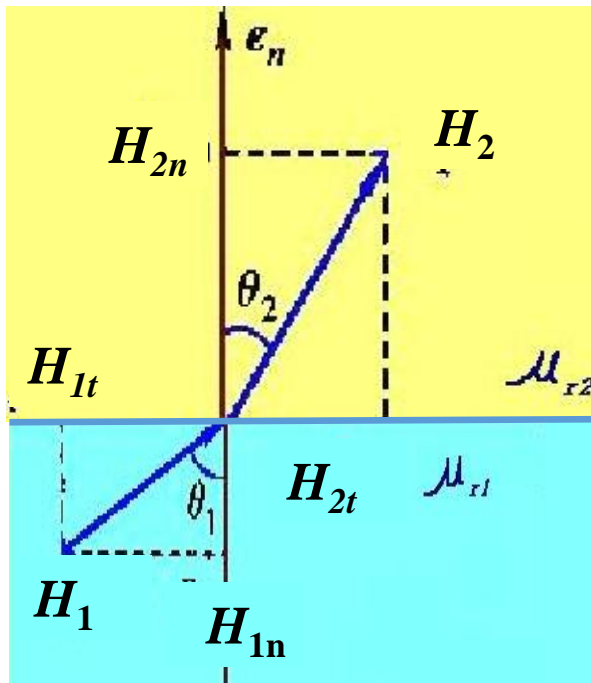


$$\frac{\tan \theta_1}{\tan \theta_2} = \frac{B_{1t} / B_{1n}}{B_{2t} / B_{2n}} = \frac{B_{1t}}{B_{2t}} = \frac{\mu_1}{\mu_2}$$

$$\frac{\tan \theta_1}{\tan \theta_2} = \frac{\mu_1}{\mu_2}$$

同理，若介质界面没有传导电流，对H：

$$\frac{\tan \theta_1}{\tan \theta_2} = \frac{H_{1t} / H_{1n}}{H_{2t} / H_{2n}} = \frac{H_{2n}}{H_{1n}} = \frac{\mu_1}{\mu_2}$$



$$\frac{\tan \theta_1}{\tan \theta_2} = \frac{\mu_1}{\mu_2}$$

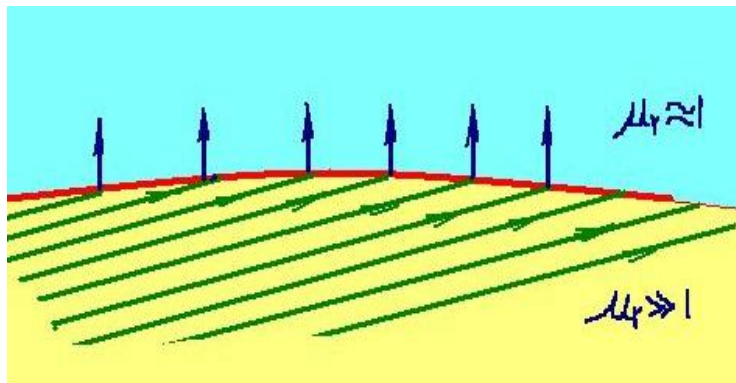
类似电场边界规律

$$\frac{\tan \theta_1}{\tan \theta_2} = \frac{\epsilon_1}{\epsilon_2}$$

$$\tan \theta_1 / \tan \theta_2 = \mu_1 / \mu_2$$

若 $\mu_{r2} \approx 1$ (弱磁性介质),
 $\mu_{r1} \gg 1$ (铁磁性材料)

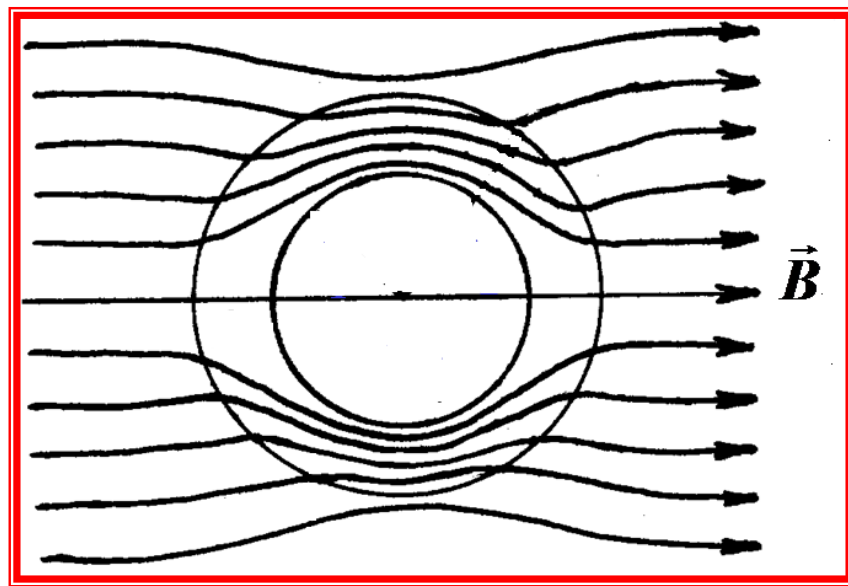
$$\begin{cases} \theta_2 \approx 0 \\ \theta_1 \approx 90^\circ \end{cases}$$

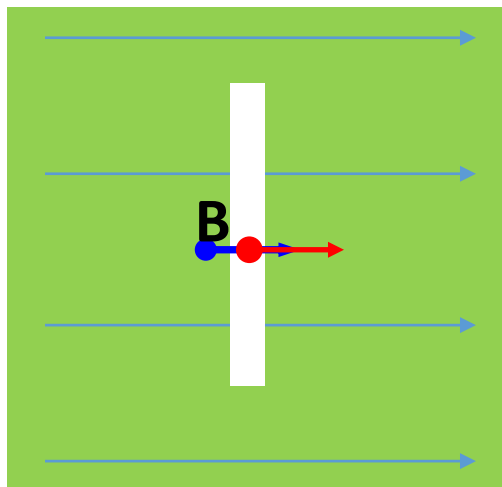


磁感应线几乎都集中在铁磁性介质内，漏磁很少。

磁屏蔽

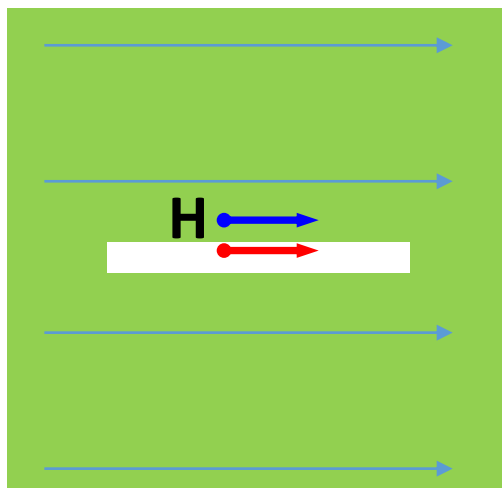
一高磁导率的软铁磁材料（相对磁导率大于 10^3 ）作成的空腔置于外磁场中，磁感应线将密集于软铁磁材料的腔壳之中，极少泄漏进空腔内。空腔内的物体将几乎不受外磁场的影响，从而达到磁屏蔽的目的。





圆盘形空穴：磁介质中的 B ，因为 B 的法向分量连续，因此空穴中心的 B 等于磁介质中的 B ，因此空穴中心的磁场强度为

$$\vec{H} = \frac{\vec{B}}{\mu_0}$$

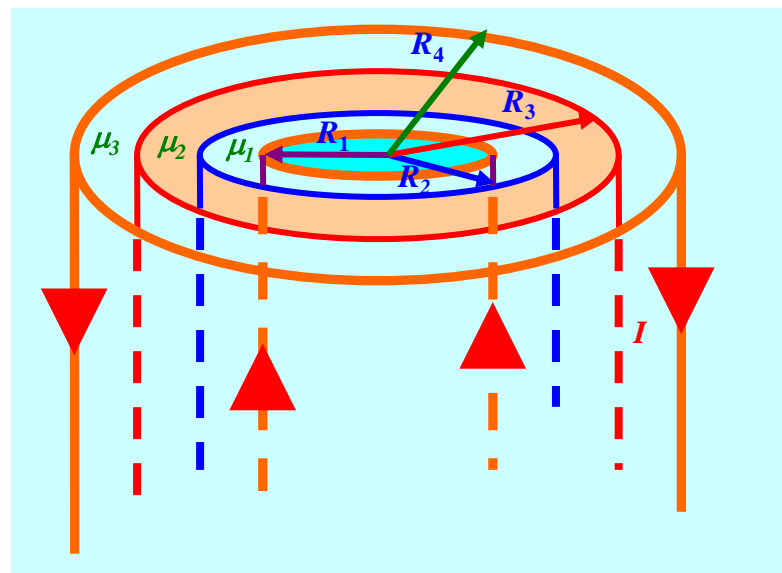
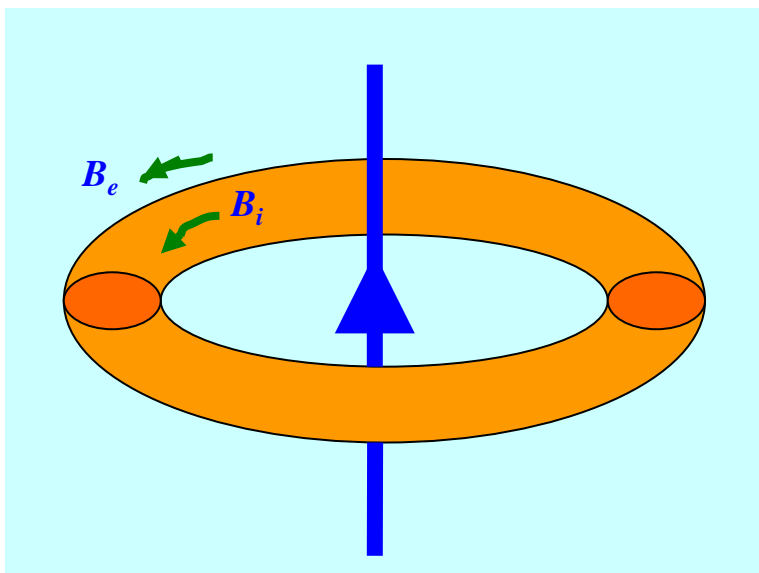


细棒形空穴：磁介质中的 H ，因为 H 的切向分量连续，因此空穴中心的 H 等于磁介质中的 H ，因此空穴中心的磁场强度为

$$\vec{H} = \frac{\vec{B}}{\mu_r \mu_0}$$

二、两类特殊介质问题

1. 介质界面与磁感应线重合



分析：介质不影响传导电流分布，所以磁场强度分布和没有介质时一样



介质中

$$\vec{H} = \vec{B}_0 / \mu_0$$

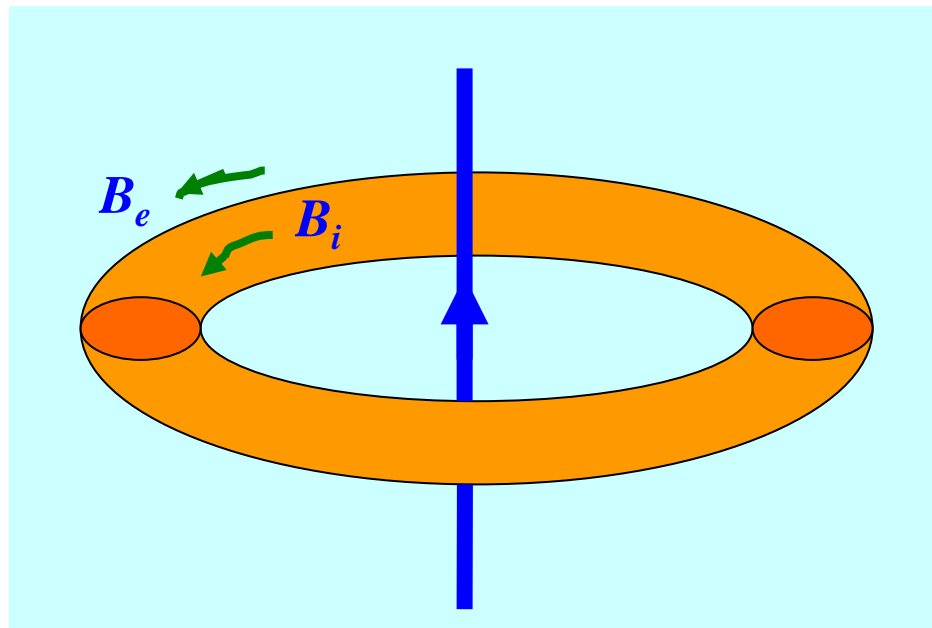
式中**H**为待求静磁场的磁场强度，**B₀**为传导电流（在真空中）产生的磁感应强度。只要已知传导电流的分布，即可算得**B₀**。
特别对传导电流对称分布的情况：

$$\oint \vec{B}_0 \cdot d\vec{l} = \mu_0 \Sigma I_0$$

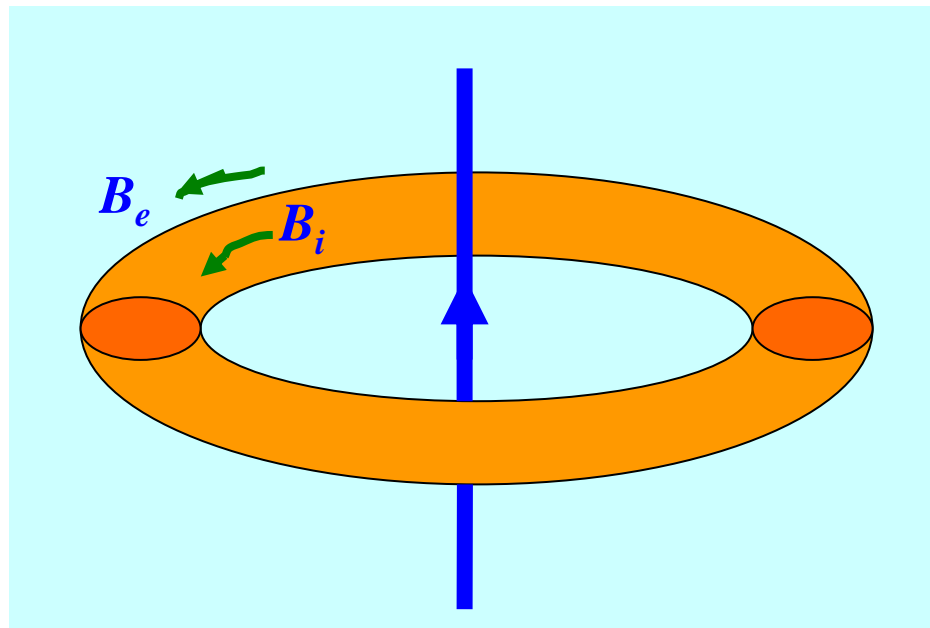
得到**B₀**后分区计算介质内磁感应强度：

$$\vec{B}_i = \mu_i \vec{H} = \mu_i \vec{B}_0 / \mu_0$$

[例]磁导率为 μ 一圆环状磁介质与一通电流 I 的无限长直载流导线共轴，求介质内外空间的磁感应强度的分布和介质表面的磁化电流。



[解]无限长**I**产生的**B₀**方向是以**I**为轴的**同心圆**，分界面处**B_n=0**，
本题属于介质界面和磁感应线平行（重合）的情况。



没有介质时

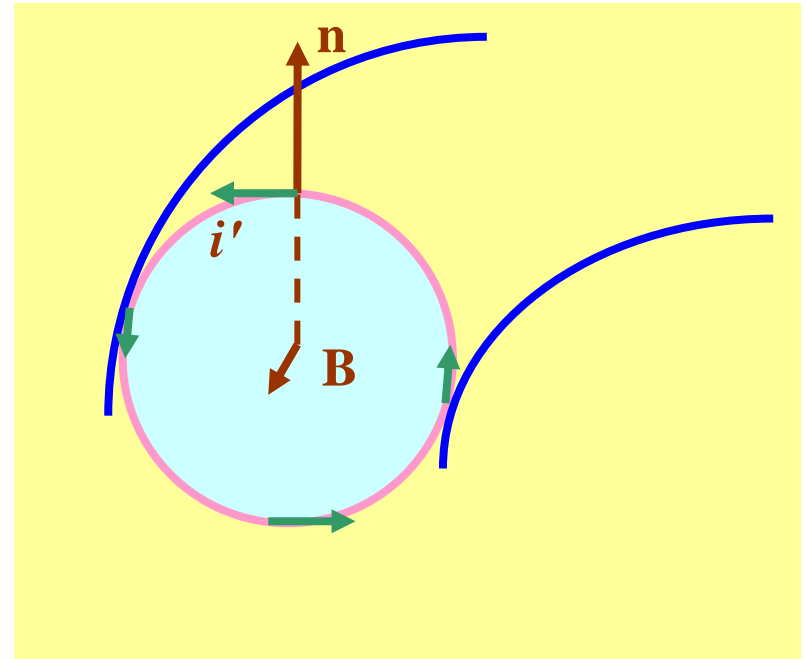
$$B_o = \frac{\mu_o I}{2\pi r}$$

介质内

$$B_i = \frac{\mu_r \mu_o I}{2\pi r}$$

介质外

$$B_e = \frac{\mu_o I}{2\pi r}$$

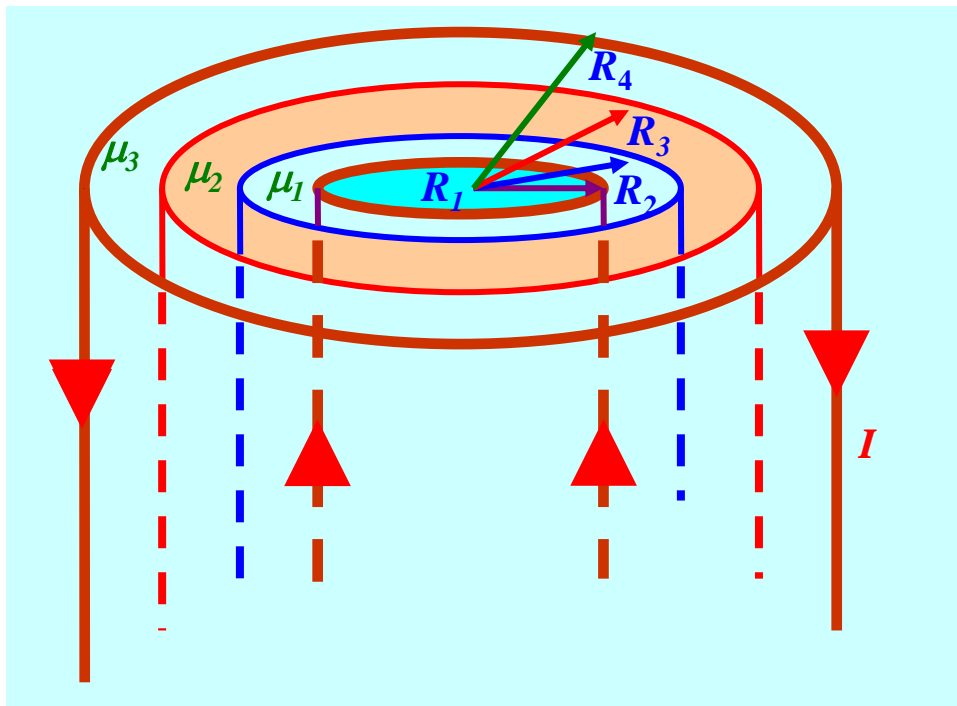


面磁化电流密度为

$$\vec{i}' = \vec{n} \times (\vec{M}_2 - \vec{M}_1) = \vec{M}_1 \times \vec{n} = \chi_m \frac{\vec{B}_i}{\mu_i \mu_o} \times \vec{n} = \frac{(\mu_r - 1)}{2\pi r} I$$

i' 随 r 变化, 方向沿小环切向

[例]如图，二同轴导体圆柱面通有反向的电流，二柱面间分层充满均匀介质，磁导率分别为 μ_1 、 μ_2 、 μ_3 ，求各区域的B。

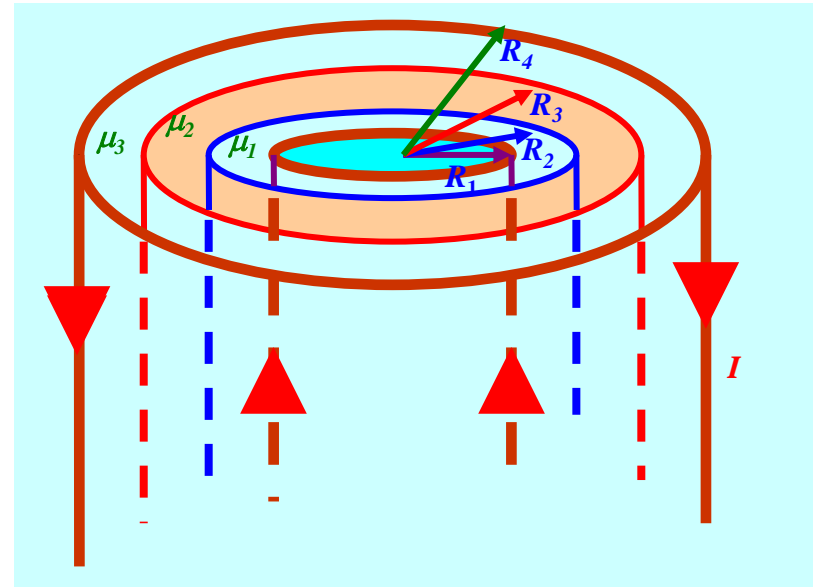


[解] 无介质时

$$B_0 = \begin{cases} 0, & r < R_1, r > R_4 \\ \frac{\mu_0 I}{2\pi r}, & R_1 < r < R_4 \end{cases}$$

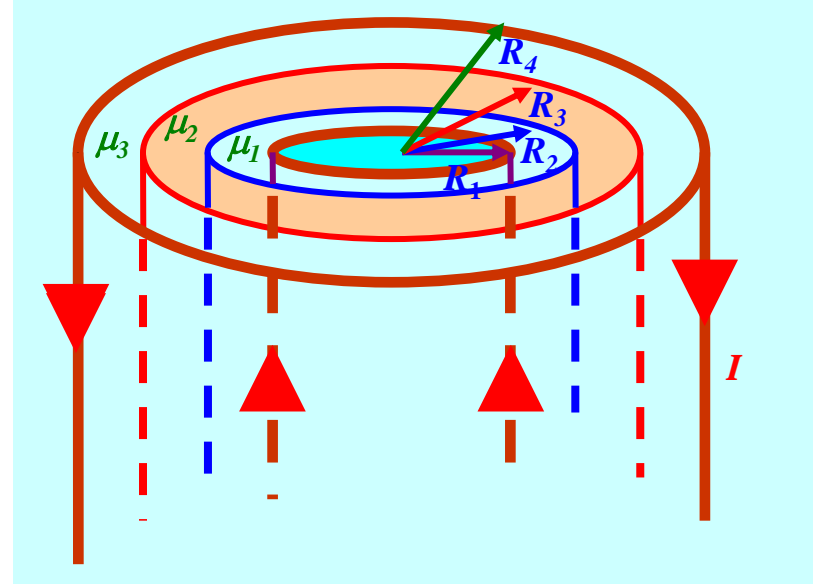
$$H = \frac{B_0}{\mu_0} = \begin{cases} 0, & r < R_1, r > R_4 \\ \frac{I}{2\pi r}, & R_1 < r < R_4 \end{cases}$$

各分区充满各种介质后，则



$$B(r) = \mu H_0 = \begin{cases} 0, & r < R_1, r > R_4 \\ \frac{\mu_1 I}{2\pi r}, & R_1 < r < R_2 \\ \frac{\mu_2 I}{2\pi r}, & R_2 < r < R_3 \\ \frac{\mu_3 I}{2\pi r}, & R_3 < r < R_4 \end{cases}$$

$$M(r) = \frac{B}{\mu_0} \cdot \mathbf{H}_0 = \begin{cases} 0, & r < R_1, r > R_4 \\ \frac{(\mu_1 - \mu_0)I}{2\pi\mu_0 r}, & R_1 < r < R_2 \\ \frac{(\mu_2 - \mu_1)I}{2\pi\mu_0 r}, & R_2 < r < R_3 \\ \frac{(\mu_3 - \mu_2)I}{2\pi\mu_0 r}, & R_3 < r < R_4 \end{cases}$$



$$\vec{i}' = (\vec{M}_1 - \vec{M}_2) \times \vec{n}_{12}$$

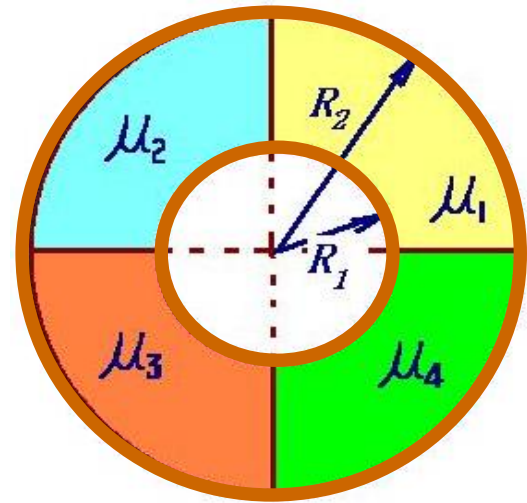
$$i' = \begin{cases} \frac{(\mu_1 - \mu_0)I}{2\pi\mu_0 R_1}, & r = R_1 \\ \frac{(\mu_2 - \mu_1)I}{2\pi\mu_0 R_2}, & r = R_2 \\ \frac{(\mu_3 - \mu_2)I}{2\pi\mu_0 R_3}, & r = R_3 \\ \frac{(\mu_0 - \mu_3)I}{2\pi\mu_0 R_4}, & r = R_4 \end{cases}$$

2. 介质界面与磁感应线垂直

● 磁化电流分布

$$\vec{i}' = \vec{n} \times (\vec{M}_2 - \vec{M}_1)$$

$$\because \vec{M} = \chi_m \vec{H} = \frac{(\mu_r - 1)}{\mu_r \mu_0} \vec{B}$$



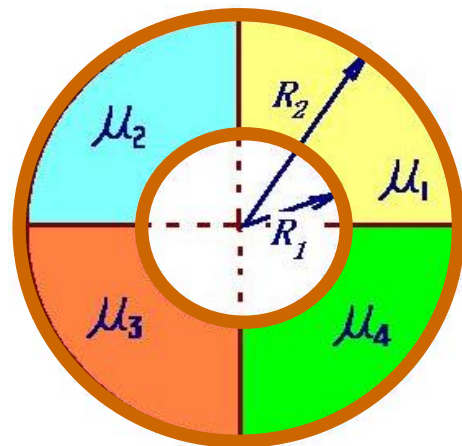
在分界面， $B_1=B_2=B_n$ ，故在介-介分界面 $M=M_n$

故 $i'=0$ ，介质-介质分界面上无磁化电流

磁化电流仅出现在有传导电流出现的地方。

● 总电流分布

- 同一载流导体可能与多种磁介质毗连，不同毗连面上的磁化面电流各异
- **假定**载流导体为超导体或内部磁场恒为零的理想导体
- 传导电流只分布于导体表面，且其分布会自动调整，最终恰好补偿磁化面电流的变化，维持**总电流的分布形式不变**，以实现导体内磁场恒等于零的条件。



● 电流分布分析的结果

所有电流分布在导体表面（导体-介质毗邻面），总电流（传导电流和磁化电流之和）分布形式不变，



介质引入后，只会改变磁感应强度的大小，磁感应强度的分布形式不变，所以磁感应强度应该为

$$\vec{B} = \alpha \vec{B}_0, \begin{cases} \vec{B}_0 \text{--介质不存在时传导电流产生的磁场} \\ \alpha \text{--待求系数} \end{cases}$$

由安培环路定理定系数 α

$$\oint_L \vec{H} \cdot d\vec{l} = \oint_L \frac{\vec{B}}{\mu} \cdot d\vec{l} = \alpha \oint_L \frac{\vec{B}_0}{\mu} \cdot d\vec{l} = \Sigma I_0$$

$$\Rightarrow \alpha = \frac{\Sigma I_0}{\oint_L \frac{\vec{B}_0}{\mu} \cdot d\vec{l}}$$



□处理步骤:

➤去掉介质求出传导电流产生的磁场 B_0

➤确定系数 α

$$\alpha = \Sigma I_0 / \oint_L \frac{\vec{B}_0}{\mu} \cdot d\vec{l}$$

L 为围绕给定传导电流的任意闭合回路，磁导率 μ 在不同介质区取给定常数

➤求出介质存在时的磁场

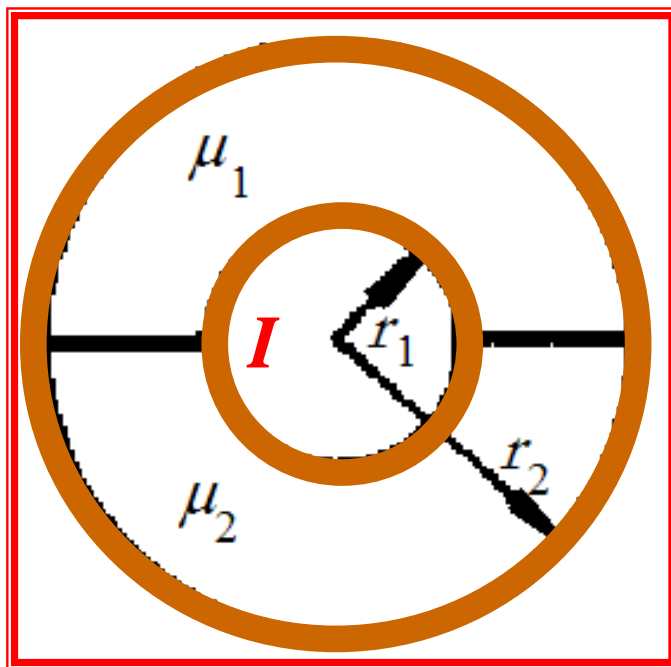
各介质内的磁感应强度:

$$\vec{B} = \alpha \vec{B}_0$$

磁场强度:

$$H_i = \frac{1}{\mu_i} B$$

[例]在一同轴电缆（内导体半径为 r_1 ，外导体的内半径为 r_2 ，两导体为理想导体）中填满磁导率为 μ_1 和 μ_2 两种磁介质，各占一半空间，且介质界面为通过电缆轴的平面。设通过电缆的电流强度为 I ，求介质中的磁场分布和介质/导体毗连面上的面电流分布。

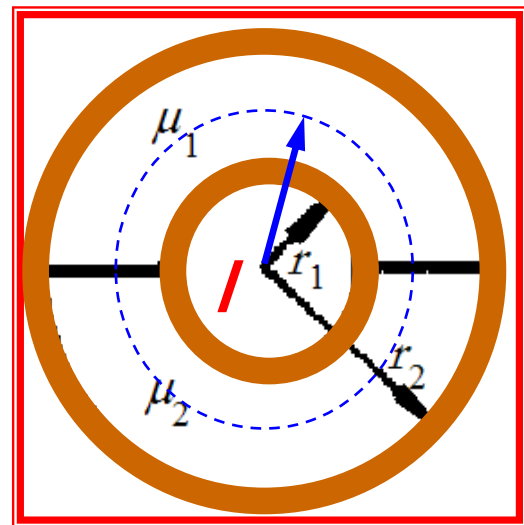


[解]本题属于磁介质界面与磁感应线垂直的情况。介质置入前的磁感应强度相对电缆轴线对称。取半径为 r ($r_1 < r < r_2$) 的圆回路, 得:

$$\frac{B}{\mu_1} \pi r + \frac{B}{\mu_2} \pi r = I, \quad B = \frac{\mu_1 \mu_2 I}{\pi(\mu_1 + \mu_2)r}$$

介质1和介质2中的**磁场强度**为:

$$H_1 = \frac{B}{\mu_1} = \frac{\mu_2 I}{\pi(\mu_1 + \mu_2)r}, \quad H_2 = \frac{B}{\mu_2} = \frac{\mu_1 I}{\pi(\mu_1 + \mu_2)r}$$



相应**磁化强度**为:

$$M_1 = \frac{1}{\mu_0} B - H_1 = \frac{\mu_2 [(\mu_1 / \mu_0) - 1] I}{\pi(\mu_1 + \mu_2)r} = \chi_{m1} \frac{\mu_2 I}{\pi(\mu_1 + \mu_2)r}$$

$$M_2 = \frac{1}{\mu_0} B - H_2 = \frac{\mu_1 [(\mu_2 / \mu_0) - 1] I}{\pi(\mu_1 + \mu_2)r} = \chi_{m2} \frac{\mu_1 I}{\pi(\mu_1 + \mu_2)r}$$



对于 $r < r_1$ 和 $r > r_2$, $\mathbf{B} = \mathbf{H} = \mathbf{M} = 0$ 。在 $r = r_1$ 处的磁化面电流和传导面电流密度为:

$$i'_1 = \begin{cases} M_1 |_{r=r_1} = \frac{\mu_2 [(\mu_1 / \mu_0) - 1] I}{\pi(\mu_1 + \mu_2) r_1}, & (\text{介质1}), \\ M_2 |_{r=r_1} = \frac{\mu_1 [(\mu_2 / \mu_0) - 1] I}{\pi(\mu_1 + \mu_2) r_1}, & (\text{介质2}), \end{cases}$$

$$i_{01} = \begin{cases} H_1 |_{r=r_1} = \frac{\mu_2 I}{\pi(\mu_1 + \mu_2) r_1}, & (\text{毗连介质1}), \\ H_2 |_{r=r_1} = \frac{\mu_1 I}{\pi(\mu_1 + \mu_2) r_1}, & (\text{毗连介质2}), \end{cases}$$

$$i_{01} + i'_1 |_{r=r} = \frac{\mu_1 \mu_2 I}{\pi(\mu_1 + \mu_2) r_1}$$



与此类似，在 $r = r_2$ 处有：

$$i'_2 = \begin{cases} -M_1|_{r=r_2} = -\frac{\mu_2[(\mu_1/\mu_0)-1]I}{\pi(\mu_1+\mu_2)r_2}, & (\text{介质1}), \\ -M_2|_{r=r_2} = -\frac{\mu_1[(\mu_2/\mu_0)-1]I}{\pi(\mu_1+\mu_2)r_2}, & (\text{介质2}), \end{cases}$$

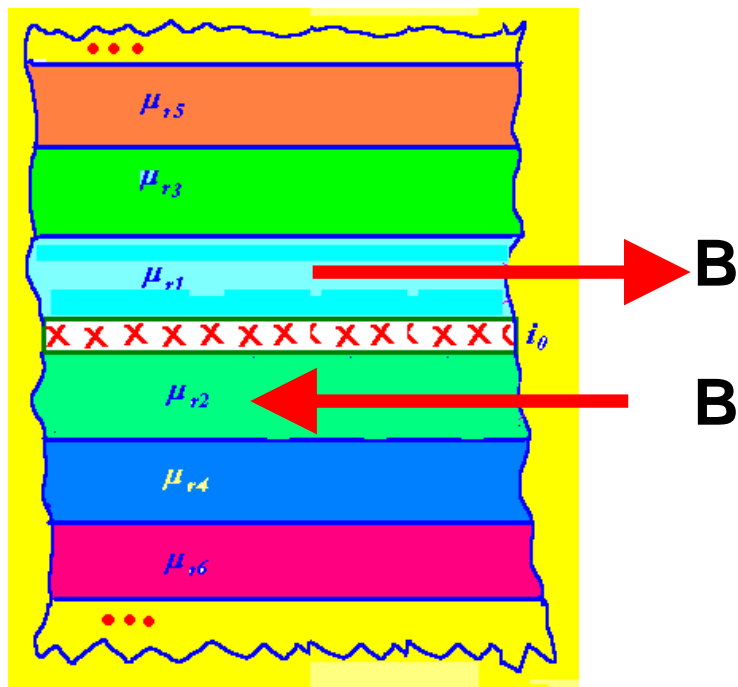
$$i_{02} = \begin{cases} -H_1|_{r=r_2} = -\frac{\mu_2 I}{\pi(\mu_1+\mu_2)r_2}, & (\text{毗连介质1}), \\ -H_2|_{r=r_2} = -\frac{\mu_1 I}{\pi(\mu_1+\mu_2)r_2}, & (\text{毗连介质2}), \end{cases}$$

$$i_{02} + i'_2|_{r=r_2} = \frac{\mu_1\mu_2 I}{\pi(\mu_1+\mu_2)r_2}$$

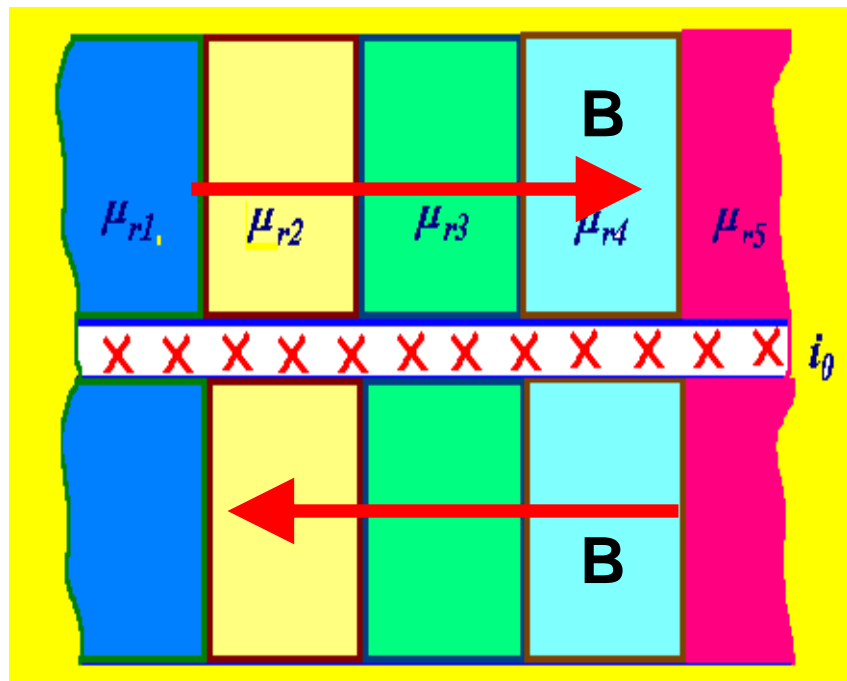


讨论:

- 这种方法的**前提**: 假定导体或导线是内部磁场为零的超导体或理想导体, 否则不能用上述方法求解。
- 介质的引入**破坏了**磁场强度 H 的轴对称性, 因此无法直接通过安培环路定理计算 H 。
- 由上述结果可见, 在 $r = r_1$ 和 $r = r_2$ 处的**磁化面电流**和**传导面电流密度**分布都不均匀, 但**总面电流** ($i = i_0 + i'$) 的分布却是均匀的。
- **总面电流**分布的这种对称性决定了**磁感应强度** B 的对称性。



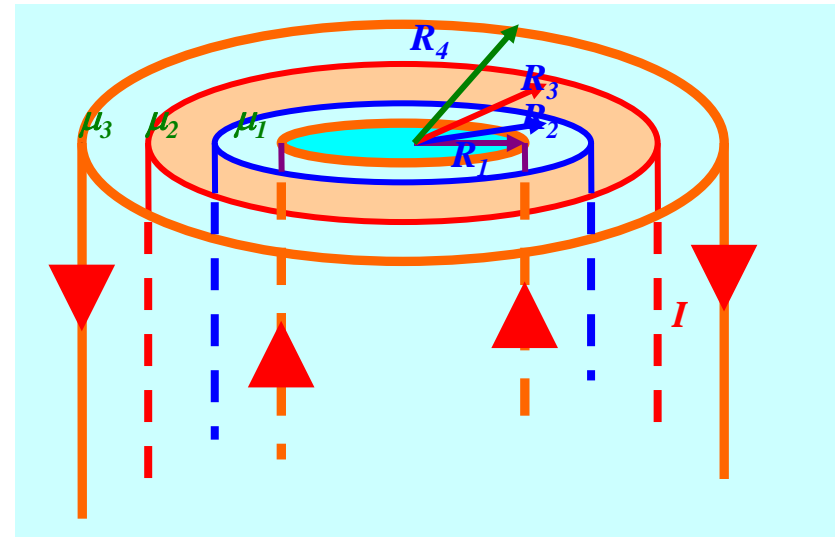
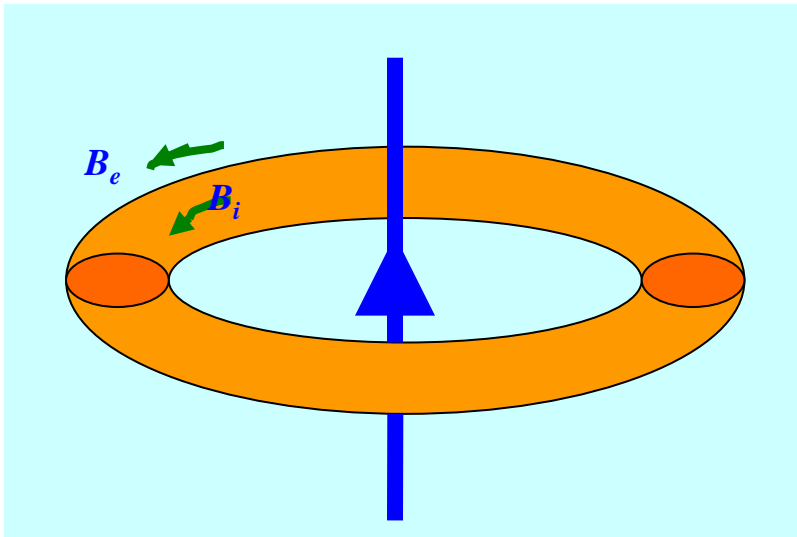
介质-介质界面有磁化电流，但是不影响传导电流的分布。



介质-介质界面无磁化电流，总电流分布均匀。

三、两类问题的边值关系讨论

1. 介质界面与磁感应线重合

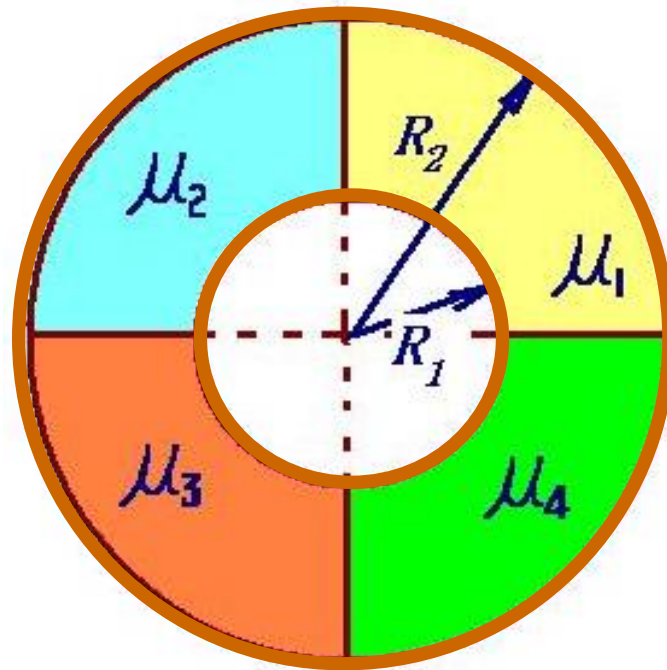


分界面处 $\vec{H}_{1t} = \vec{H}_{2t}$,

\vec{H} 只有切向, 所以 $\vec{H}_1 = \vec{H}_2$.



2. 介质分界面与B垂直



分界面处 $B_{1n} = B_{2n}$,

\vec{B} 只有法向, 所以 $\vec{B}_1 = \vec{B}_2$.